

УДК 539.3

К ДИНАМИЧЕСКОЙ УСТОЙЧИВОСТИ СЖИМАЕМОЙ СЛОИСТОЙ ОРТОТРОПНОЙ ПЛАСТИНЫ, ШАРНИРНО ОПЕРТОЙ ПО ДВУМ КРАЯМ И С РАЗЛИЧНЫМИ ГРАНИЧНЫМИ УСЛОВИЯМИ ПО ДВУМ ДРУГИМ

Арутсамян А.М. (ГИУА (П), г. Ереван, Армения)

Тел./Факс. +374 (93) 25 25 83; E-mail: alla-arustamyan@rambler.ru

Аннотация. В статье рассматривается задача динамической устойчивости слоистой ортотропной пластины, шарнирно опертой по двум краям и с различными граничными условиями по двум другим. Для приближенного решения задачи применен метод Бубнова-Галеркина. Задача сводится к решению уравнения Маттье-Хилла. Приведены результаты вычислений для однослойной ортотропной пластины

Ключевые слова: динамическая устойчивость, ортотропная пластина, слоистая пластина, угол армирования, критическая сила

В последние годы интерес к применению анизотропных материалов в конструкциях значительно возрос, что связано с появлением нового класса композиционных материалов, обладающих исключительно высокими механическими характеристиками. Интенсивно расширяющееся внедрение композитов в несущих конструкциях различного назначения требует разработки расчетных моделей и методов, учитывающих особенности структуры и поведения этих материалов. К числу таких особенностей, как известно, относятся их анизотропия, а также слоистый характер.

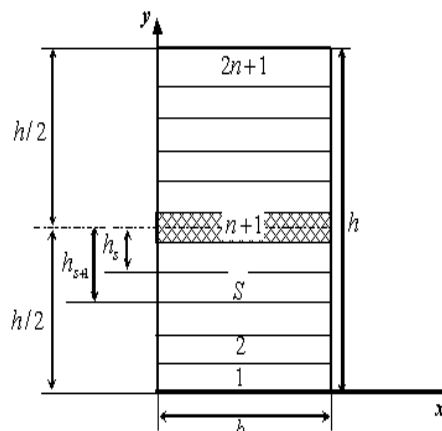


Рис. 1. Сечение слоистой, симметрично собранной ортотропной пластины

В реальных условиях на пластины могут действовать динамические нагрузки, которые приводят к возникновению колебаний. Колебания могут существенно влиять на надежность конструкции в целом.

1. Рассмотрим ортотропную прямоугольную пластину, составленную из $(2n+1)$ симметрично расположенных относительно срединной поверхности слоев, изготовленных путем поочередной укладки элементарных слоев композиционного материала под углами $\pm\varphi_S$ ($s = 1, 2, \dots, 2n+1$). Слои конструкции, образованные путем поочередной укладки элементарных слоев композита под углами $\pm\varphi$, можно считать ортотропными (рис. 1).

Уравнение динамической устойчивости сжимаемой слоистой ортотропной прямоугольной пластины (рис.1) имеет вид [1]:

$$D_{11} \frac{\partial^4 w}{\partial x^4} + 2(D_{12} + 2D_{66}) \cdot \frac{\partial^4 w}{\partial x^2 \partial y^2} + D_{22} \frac{\partial^4 w}{\partial y^4} + P_1(t) \cdot \frac{\partial^2 w}{\partial x^2} + P_2(t) \cdot \frac{\partial^2 w}{\partial y^2} + \rho h \cdot \frac{\partial^2 w}{\partial t^2} = 0, \quad (1)$$

где ρ – плотность композиционного материала пластины, h – толщина пластины, t – время, $w(x, y, t)$ – поперечный прогиб пластины, $P_1(t)$ и $P_2(t)$ – сжимающие усилия (рис. 2).

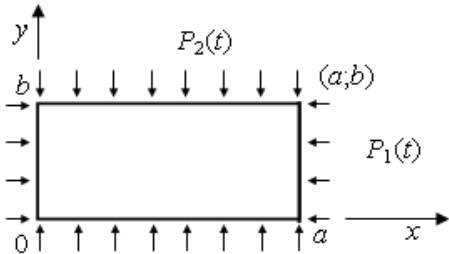


Рис.2. Прямоугольная пластина под действием сжимающих усилий

Жесткости D_{ik} определяются по формуле:

$$D_{ik} = \frac{2}{3} \left(B_{ik}^{n+1} \cdot h_{n+1}^3 + \sum_{s=1}^n B_{ik}^s \left(h_s^3 - h_{s+1}^3 \right) \right), \quad (2)$$

где B_{ik} – упругие характеристики материала пластины по геометрическим направлениям Ox и Oy , выражаемые через упругие характеристики элементарного слоя B_{ik}^0 по

формулам [2]:

$$\begin{aligned} B_{11}^S &= B_{11}^0 \cdot \cos^4 \varphi + 2 \cdot B_3^0 \cdot \sin^2 \varphi \cdot \cos^2 \varphi + B_{22}^0 \cdot \sin^4 \varphi, \\ B_{22}^S &= B_{11}^0 \cdot \sin^4 \varphi + 2 \cdot B_3^0 \cdot \sin^2 \varphi \cdot \cos^2 \varphi + B_{22}^0 \cdot \cos^4 \varphi, \\ B_{12}^S &= B_{12}^0 + (B_{11}^0 + B_{22}^0 - 2 \cdot B_3^0) \cdot \sin^2 \varphi \cdot \cos^2 \varphi, \\ B_{66}^S &= B_{66}^0 + (B_{11}^0 + B_{22}^0 - 2 \cdot B_3^0) \cdot \sin^2 \varphi \cdot \cos^2 \varphi, \end{aligned} \quad (3)$$

Упругие характеристики элементарного слоя вдоль главных физических направлений определяются по формулам [2]:

$$\begin{aligned} B_{11}^0 &= \frac{E_1}{1 - \nu_{12} \nu_{21}}, & B_{12}^0 &= \frac{\nu_{12} E_2}{1 - \nu_{12} \nu_{21}}, & B_{66}^0 &= G_{12}, \\ B_{22}^0 &= \frac{E_2}{1 - \nu_{12} \nu_{21}}, & B_{21}^0 &= \frac{\nu_{21} E_1}{1 - \nu_{12} \nu_{21}}, & B_3^0 &= B_{12}^0 + 2 \cdot B_{66}^0. \end{aligned} \quad (4)$$

Представим функцию прогиба в виде:

$$w(x, y, t) = \sum_{m=1}^{\infty} \sum_{n=1}^{\infty} U_m(x) \cdot V_n(y) \cdot w_{mn}(t), \quad (5)$$

где $U_m(x)$, $V_n(y)$ – фундаментальные (балочные) функции, удовлетворяющие граничным условиям на краях пластины.

Подставив функцию прогиба (5) в уравнение устойчивости (1), а после применив метод Бубнова-Галеркина, учитывая свойство ортогональности фундаментальных функций будем иметь:

$$I''_{mn}(t) + \frac{I_1}{I_0 \rho h} w_{mn}(t) - P_1(t) \frac{I_2}{I_0 \rho h} w_{mn}(t) - P_2(t) \frac{I_3}{I_0 \rho h} w_{mn}(t) = 0. \quad (6)$$

где введены следующие обозначения:

$$\begin{aligned} I_1 &= \int_0^a \int_0^b \left[D_{11} \lambda_m^4 U_m(x) V_n(y) + 2(D_{12} + 2D_{66}) \lambda_m^2 \mu_n^2 \overline{U_m(x)} \cdot \overline{V_n(y)} + D_{22} \mu_n^4 U_m(x) V_n(y) \right] U_m(x) V_n(y) dx dy, \\ I_2 &= \lambda_m^2 \int_0^a \int_0^b \overline{U_m(x)} U_m(x) \cdot V_n^2(y) dx dy, \\ I_3 &= \mu_n^2 \int_0^a \int_0^b \overline{V_n(y)} V_n(y) \cdot U_m^2(x) dx dy, \end{aligned} \quad (7)$$

$$I_0 = \int_0^a \int_0^b U_m^2(x) V_n^2(y) dx dy,$$

причем

$$\begin{aligned} U_m^{IV}(x) &= \lambda_m^4 \cdot U_m(x), & V_n^{IV}(y) &= \mu_n^4 \cdot V_n(y), \\ U_m''(x) &= -\lambda_m^2 \cdot \overline{U_m(x)}, & V_n''(y) &= -\mu_n^2 \cdot \overline{V_n(y)}. \end{aligned}$$

Здесь $\overline{U_m(x)}$ и $\overline{V_n(y)}$ – сопряженные соответственно $U_m(x)$ и $V_n(y)$ функции.

Придадим уравнению (6) вид уравнения Матье-Хилла:

$$w_{mn}'' + \Omega_{mn}^2 (1 - 2\mu \cos \theta) w_{mn} = 0, \quad (8)$$

$$\text{где } \Omega_{mn}^2 = \omega_{mn}^2 \left[1 - \frac{P_{10}}{P_{1mn}^*} - \frac{P_{20}}{P_{2mn}^*} \right], \quad \mu = \frac{P_{1t} \cdot P_{2mn}^* + P_{2t} \cdot P_{1mn}^*}{2 \cdot (P_{1mn}^* \cdot P_{2mn}^* - P_{10} \cdot P_{2mn}^* - P_{20} \cdot P_{1mn}^*)}, \quad (9)$$

$$\omega_{mn}^2 = \frac{I_1}{I_0 \rho h}, \quad P_{1mn}^* = \frac{I_1}{I_2}, \quad P_{2mn}^* = \frac{I_1}{I_3}, \quad (10)$$

Ω_{mn} – частота собственных колебаний пластины, загруженной постоянными составляющими усилий, μ – коэффициент возбуждения, ω_{mn} – частота собственных колебаний незагруженной пластины, P_{1mn}^* , P_{2mn}^* – критические значения усилий $P_1(t)$ и $P_2(t)$.

Подстановкой интегралов (6) в выражения (10) получаем:

$$\begin{aligned} \omega_{mn}^2 &= \frac{1}{\rho h} \left(D_{11} \lambda_m^4 + 2(D_{12} + 2D_{66}) \lambda_m^2 \mu_n^2 \cdot A_{mn} + D_{22} \mu_n^4 \right) \\ P_{1mn}^* &= \frac{B_{mn}}{\lambda_m^2} \left(D_{11} \lambda_m^4 + 2(D_{12} + 2D_{66}) \lambda_m^2 \mu_n^2 \cdot A_{mn} + D_{22} \mu_n^4 \right) \\ P_{2mn}^* &= \frac{C_{mn}}{\mu_n^2} \left(D_{11} \lambda_m^4 + 2(D_{12} + 2D_{66}) \lambda_m^2 \mu_n^2 \cdot A_{mn} + D_{22} \mu_n^4 \right), \end{aligned} \quad (11)$$

где A_{mn} , B_{mn} и C_{mn} имеют вид (13), то есть:

$$\begin{aligned} A_{mn} &= \frac{\int_0^a \int_0^b \overline{U_m(x)} \cdot \overline{V_n(y)} \cdot U_m(x) \cdot V_n(y) dx dy}{\int_0^a \int_0^b U_m^2(x) \cdot V_n^2(y) dx dy}, \\ B_{mn} &= \frac{\int_0^a \int_0^b \overline{U_m^2(x)} \cdot \overline{V_n^2(y)} dx dy}{\int_0^a \int_0^b \overline{U_m(x)} \cdot \overline{U_m(x)} \cdot \overline{V_n^2(y)} dx dy}, \quad C_{mn} = \frac{\int_0^a \int_0^b \overline{U_m^2(x)} \cdot \overline{V_n^2(y)} dx dy}{\int_0^a \int_0^b \overline{U_m^2(x)} \cdot \overline{V_n(y)} \cdot V_n(y) dx dy}. \end{aligned} \quad (12)$$

Таким образом, решая задачу динамической устойчивости сжимаемой слоистой ортотропной пластины методом Бубнова-Галеркина приходим к уравнению Матье-Хилла (3.2.8), где параметры ω_{mn} , Ω_{mn} , μ , P_{1mn}^* и P_{2mn}^* определяем по формулам (9) и (3.2.11) соответственно, с применением в (12) соответствующих балочных функций, удовлетворяющих граничным условиям закрепления по краям пластины.

2. Рассмотрим сжимаемую однослойную ортотропную пластину, шарнирно опертую по краям $y = 0$, $y = b$ и при различных граничных условиях на краях $x = 0$, $x = a$.

Функцию прогиба (5) запишем в виде:

Таблица 1. Значения безразмерных параметров $\tilde{\omega}_{mn}$, $\tilde{\Omega}_{mn}$, \tilde{P}_{mn}

Границные условия	$d=a/b$	$\max_{\varphi} \min_{m,n} \tilde{\omega}_{mn}$	$\max_{\varphi} \min_{m,n} \tilde{\Omega}_{mn}$	φ	$\max_{\varphi} \min_{m,n} \tilde{P}_{lmn}^*$	φ
1.	1/4	$\tilde{\omega}_{II}= 16.45$	$\tilde{\Omega}_{II}= 12.74$	0^0	$\tilde{P}_{II}= 16.91$	0^0
	1/3	$\tilde{\omega}_{II}= 9.457$	$\tilde{\Omega}_{II}= 7.325$	0^0	$\tilde{P}_{II}= 9.936$	0^0
	1/2	$\tilde{\omega}_{II}= 4.482$	$\tilde{\Omega}_{II}= 3.472$	0^0	$\tilde{P}_{II}= 5.022$	0^0
	1	$\tilde{\omega}_{II}= 1.798$	$\tilde{\Omega}_{II}= 1.393$	45^0	$\tilde{P}_{II}= 3.232$	45^0
	2	$\tilde{\omega}_{II}= 1.120$	$\tilde{\Omega}_{II}= 0.868$	80^0	$\tilde{P}_{2I}= 3.232$	45^0
	3	$\tilde{\omega}_{II}= 1.051$	$\tilde{\Omega}_{II}= 0.814$	90^0	$\tilde{P}_{3I}= 3.232$	45^0
	4	$\tilde{\omega}_{II}= 1.028$	$\tilde{\Omega}_{II}= 0.796$	90^0	$\tilde{P}_{4I}= 3.232$	45^0
2.	1/4	$\tilde{\omega}_{II}= 25.33$	$\tilde{\Omega}_{II}= 19.62$	0^0	$\tilde{P}_{II}= 34.38$	0^0
	1/3	$\tilde{\omega}_{II}= 14.40$	$\tilde{\Omega}_{II}= 11.16$	0^0	$\tilde{P}_{II}= 19.76$	0^0
	1/2	$\tilde{\omega}_{II}= 6.613$	$\tilde{\Omega}_{II}= 5.122$	0^0	$\tilde{P}_{II}= 9.370$	0^0
	1	$\tilde{\omega}_{II}= 2.118$	$\tilde{\Omega}_{II}= 1.641$	40^0	$\tilde{P}_{II}= 3.840$	40^0
	2	$\tilde{\omega}_{II}= 1.164$	$\tilde{\Omega}_{II}= 0.902$	70^0	$\tilde{P}_{2I}= 3.477$	45^0
	3	$\tilde{\omega}_{II}= 1.064$	$\tilde{\Omega}_{II}= 0.824$	90^0	$\tilde{P}_{3I}= 3.385$	45^0
	4	$\tilde{\omega}_{II}= 1.034$	$\tilde{\Omega}_{II}= 0.801$	90^0	$\tilde{P}_{4I}= 3.342$	45^0
3.	1/4	$\tilde{\omega}_{II}= 36.25$	$\tilde{\Omega}_{II}= 28.08$	0^0	$\tilde{P}_{II}= 66.36$	0^0
	1/3	$\tilde{\omega}_{II}= 20.50$	$\tilde{\Omega}_{II}= 15.88$	0^0	$\tilde{P}_{II}= 37.74$	0^0
	1/2	$\tilde{\omega}_{II}= 9.269$	$\tilde{\Omega}_{II}= 7.180$	0^0	$\tilde{P}_{II}= 17.36$	0^0
	1	$\tilde{\omega}_{II}= 2.599$	$\tilde{\Omega}_{II}= 2.013$	0^0	$\tilde{P}_{II}= 5.457$	0^0
	2	$\tilde{\omega}_{II}= 1.215$	$\tilde{\Omega}_{II}= 0.941$	70^0	$\tilde{P}_{2I}= 3.846$	40^0
	3	$\tilde{\omega}_{II}= 1.076$	$\tilde{\Omega}_{II}= 0.834$	90^0	$\tilde{P}_{3I}= 3.587$	40^0
	4	$\tilde{\omega}_{II}= 1.039$	$\tilde{\Omega}_{II}= 0.805$	90^0	$\tilde{P}_{4I}= 3.477$	45^0

Примечание: а) — шарнирно опертый край ; б) — защемленный край.

$$w(x, y, t) = \sum_{m=1}^{\infty} \sum_{n=1}^{\infty} U_m(x) \cdot \sin \mu_n y \cdot w_{mn}(t) \quad (13)$$

Тогда выражения (11) для параметров ω_{mn} , P_{1mn}^* и P_{2mn}^* принимают вид:

$$\begin{aligned} \omega_{mn}^2 &= \frac{1}{\rho h} \left(D_{11} \lambda_m^4 + 2(D_{12} + 2D_{66}) \lambda_m^2 \mu_n^2 \cdot A_m + D_{22} \mu_n^4 \right) \\ P_{1mn}^* &= \frac{1}{\lambda_m^2 \cdot A_{mn}} \left(D_{11} \lambda_m^4 + 2(D_{12} + 2D_{66}) \lambda_m^2 \mu_n^2 \cdot A_m + D_{22} \mu_n^4 \right), \\ P_{2mn}^* &= \frac{1}{\mu_n^2} \left(D_{11} \lambda_m^4 + 2(D_{12} + 2D_{66}) \lambda_m^2 \mu_n^2 \cdot A_m + D_{22} \mu_n^4 \right) \end{aligned} \quad (14)$$

так как для рассматриваемого случая выражения (12) принимают вид:

$$A_m = \frac{\int_0^a U_m(x) \cdot U_m(x) \cdot dx}{\int_0^a U_m^2(x) \cdot dx}, \quad B_{mn} = \frac{1}{A_{mn}}, \quad C_{mn} = 1. \quad (15)$$

В таблице 1 приведены результаты вычислений максимальных значений безразмерных величин параметров \tilde{P}_{mn} , $\tilde{\omega}_{mn}$, $\tilde{\Omega}_{mn}$.

Как видно из таблицы 3.3 с увеличением соотношения сторон пластины угол армирования φ для критической силы стремится к 45^0 , а для частот $\tilde{\omega}_{mn}$, $\tilde{\Omega}_{mn}$ – к 90^0 . По числам полуводон минимальная частота получается при $m=n=1$, а минимальная критическая сила для $\frac{1}{4} \leq a/b \leq 1$ при $m=n=1$ и для $2 \leq a/b \leq 4$ при $n=1$.

Список литературы: 1. Васильев В.В. Механика конструкций из композиционных материалов. – М.: Машиностроение, 1988г. – 272 с. ISBN 5-217-00038-4. 2. Амбарцумян С.А. Общая теория анизотропных оболочек. – М.: Наука, 1974. – 448с. 3. Васильев В.В., Хазиев А.Р. Оптимальное проектирование слоистых композитов. // Институт прикладной механики РАН. Механика композиционных материалов и конструкций. – Т.15, №1, 2009. – С. 3-16. 4. Гнуни В.В. Проектирование сжатых осевой силой цилиндрических оболочек из композиционных материалов. НАН РА, Инст. Механики, изд-во “Гитутюн”, Ереван 2000г., 120 с. ISBN 5-8080-0448-9. 5. Геворкян С.Х., Арутюнян А.М. Динамическая устойчивость ортотропной пластины при различных граничных условиях. “Проблемы динамики взаимодействия деформируемых сред”. V Международная конференция, Горис, 2005г. – С. 142 – 148. ISBN 5-8080-0625-2.

ON DYNAMIC STABILITY OF COMPRESSIBLE LAYERED ORTHOTROPIC PLATE JOINTLY SUPPORTED ON TWO SIDES AND WITH DIFFERENT BOUNDARY CONDITIONS ON THE OTHER TWO.

Arustamyan A.M. (SEUA, Yerevan, Armenia)

Tel / Fax. 374 (93) 25 25 83, E-mail: alla-arustamyan@rambler.ru

Abstract: The problem of dynamic stability of layered orthotropic plate in case of jointly support on two sides and different boundary conditions on the other two is considered. Bubnov-Galerkin's method is applied for solution of this problem. The problem is reduced to the solution of the Mathieu-Hill's equation. The results of calculations of monolayer orthotropic plate are brought

Key words: dynamic stability, orthotropic plate, laminated plate, the angle of reinforcement, the critical force

Надійшла до редколегії 01.07.2011 р.